

(1)

Beschouw de partiële DV

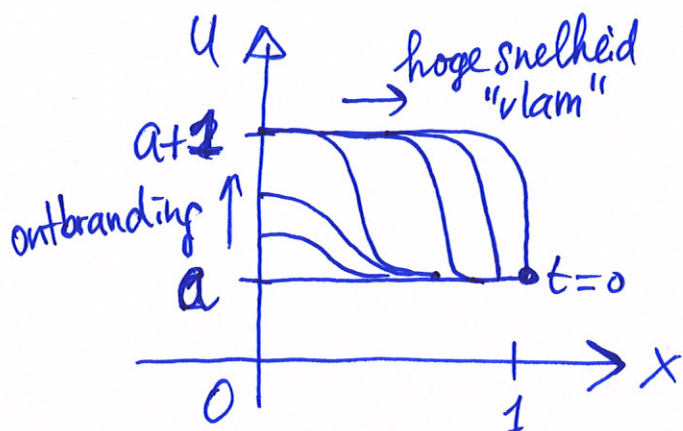
$$\frac{\partial u}{\partial t} = \varepsilon \Delta u + D(1+a-u)e^{-\delta/u}$$

tydsafgeleide diffusiecoëfficiënt
 en $D = \frac{R e^S}{a \delta}$ activatierichting
 Damkhohlergetal reactiesnelheid $\Delta u = \operatorname{div}(\operatorname{grad}(u))$ reactieterm

Dit is een model van het temperatuurverloop $u(x, y, z, t)$ van een reagerende stof in een chemisch systeem

Hoe kom je aan oplossingen van deze pDV?

In één ruimtedimensie: $u(x, t)$ en $\Delta u = \frac{\partial^2 u}{\partial x^2}$



randvoorwaarden:

$$\left. \frac{\partial u}{\partial x} \right|_{x=0} = 0 \text{ en } u \Big|_{x=1} = a$$

Nog steeds is de vraag: hoe krijg je deze grafieken?

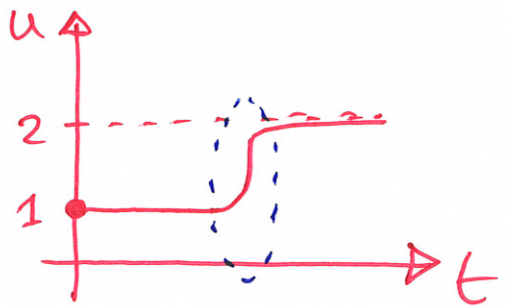
(2)

Nog een stapje simpeler dan maar: $\varepsilon = 0$

\Rightarrow gewone DV!

$$(a=1): \begin{cases} u' = D(2-u)e^{-\delta/u} \\ u(0) = 1 \end{cases}$$

$u(t)$ gezocht



scheiden van variabelen?

$$\frac{du}{dt} = D(2-u)e^{-\delta/u}$$

$$\Leftrightarrow \int \frac{du}{D(2-u)e^{-\delta/u}} = \int dt$$

$\underbrace{\qquad\qquad}_{=???$ } $\underbrace{\qquad\qquad}_{=t}$

helaas ...
geen primitive beschikbaar

geen formule voor $u(t)$ bekend --- ook niet via andere "trucs".

⇒ numerieke oplossingen (nbr. de computer)

We gaan dit voor een algemene situatie uitwerken

Bekijk $\begin{cases} u'(t) = f(u(t), t) \\ u(t_0) = u_0 \end{cases}$

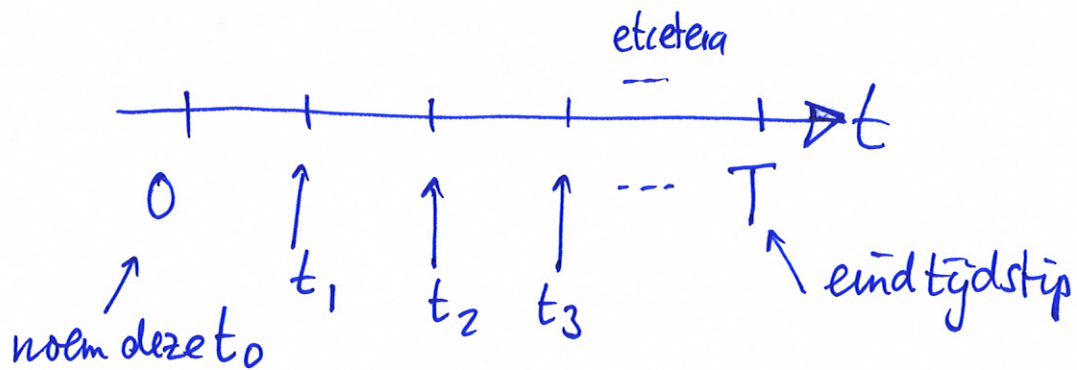
gegeven

↑ kan ook "f" van t afhangen
met alleen via $u(t)$

hoe gaan we dit doen?

(3)

- * verdeel de t-as ("de tijd t") in eindig veel stukken:
gelijke



- * noem *ieder* stukje: Δt

dan is $t_0 = 0$

$$t_1 = t_0 + \Delta t = \Delta t$$

$$t_2 = t_1 + \Delta t = 2\Delta t$$

!

$$t_N = T = N \cdot \Delta t$$

$N =$ aantal stappen
om in $t = T$ te komen

- * Noem de exacte (onbekende) waarden in t_0, t_1, \dots, t_N :

$$u(t_0), u(t_1), \dots, u(t_N)$$

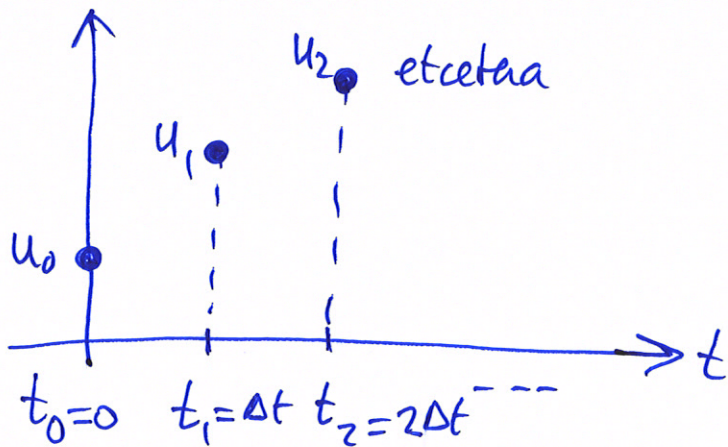
- * Noem de benaderingen via de computer (die we nog moeten construeren): u_0, u_1, \dots, u_N

Dwz $u(t_0) \approx u_0, u(t_1) \approx u_1, \dots, u(t_N) \approx u_N$

$\downarrow u(t_0) = u_0$ (wel exact! want beginvoorraarde gegeven!)

(4)

in een diagram:



- hoe kom je aan de u_1, u_2, \dots ?
- hoe goed is je benadering ?
- hoe hangt alles van Δt (of N) af ?
- wat gebeurt er voor $\Delta t \rightarrow 0$ ("convergentie")?
- zijn er addens onder het gras ... ? --- ja

Bekijk **een** definitie van afgeleide :

$$u'(t) = \lim_{\Delta t \rightarrow 0} \frac{u(t + \Delta t) - u(t)}{\Delta t}$$

$$\left(\text{of } \lim_{\Delta t \rightarrow 0} \frac{u(t) - u(t - \Delta t)}{\Delta t} \text{ of } \lim_{\Delta t \rightarrow 0} \frac{u(t + \Delta t) - u(t - \Delta t)}{2 \Delta t} \right)$$

of -----

voor "kleine" Δt : $u'(t) \approx \frac{u(t + \Delta t) - u(t)}{\Delta t}$

De DV zegt: $u' = f$

$$\begin{aligned} & \Rightarrow u(t + \Delta t) \approx u(t) + \Delta t \cdot u'(t) \\ & = u(t) + \Delta t \cdot f(u(t), t) \end{aligned}$$

$u(t) \approx u$ op een bepaald tijdstip (5)

$u(t+\Delta t) \approx u$ op een volgend tijdstip

Δt : kiezen we

f : gegeven.

Stel $u(t)$ bekend, dan kunnen we hiermee $u(t+\Delta t)$ uitrekenen.

Maar dan ook mogelijk om $u(t+2\Delta t)$ te bepalen:

$$u(t+2\Delta t) \approx \underbrace{u(t+\Delta t)}_{\text{zojuist bepaald}} + \Delta t \cdot f(u(t+\Delta t), t+\Delta t)$$

$\xrightarrow{\text{gekozen}}$

$\uparrow \quad \uparrow \quad \uparrow$
bekend

en dan ook:

$$u(t+3\Delta t) \approx u(t+2\Delta t) + \Delta t \cdot f(u(t+2\Delta t), t+3\Delta t)$$

te berekenen.

etcetera ---

Norm $u(t+2\Delta t) = u_2$

$$u(t+3\Delta t) = u_3$$

Dan krijgen we: $u_1 = u_0 + \Delta t \cdot f(u_0, t_0)$

$$u_2 = u_1 + \Delta t \cdot f(u_1, t_1)$$

$$u_3 = u_2 + \Delta t \cdot f(u_2, t_2)$$

!

$$u_N = u_{N-1} + \Delta t \cdot f(u_{N-1}, t_{N-1})$$

(6)

Het "recept" wordt: op $t=0$: $\begin{cases} u_0 = \dots \\ t_0 = 0 \end{cases}$

$$\begin{cases} u_{n+1} = u_n + \Delta t f(u_n, t_n) \\ t_{n+1} = t_n + \Delta t \end{cases} \quad n = 0, 1, 2, \dots, N-1$$

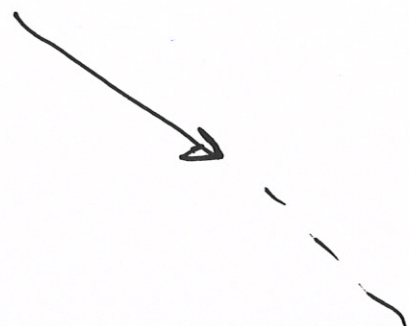
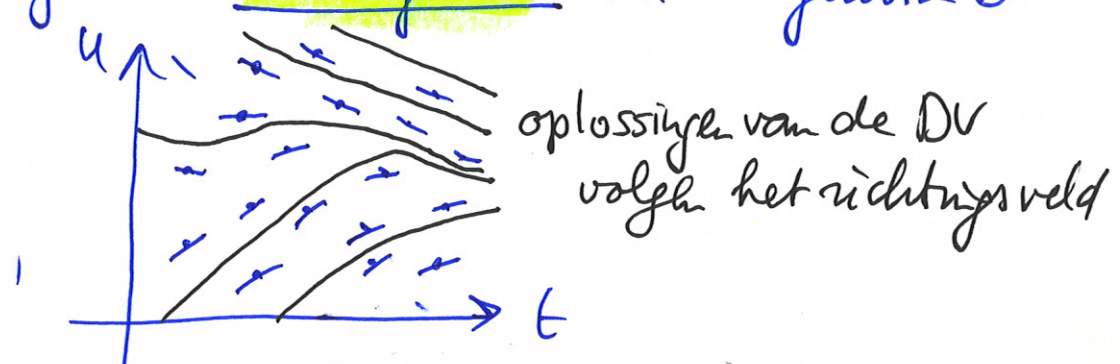
vanwege
 u_{n+1}

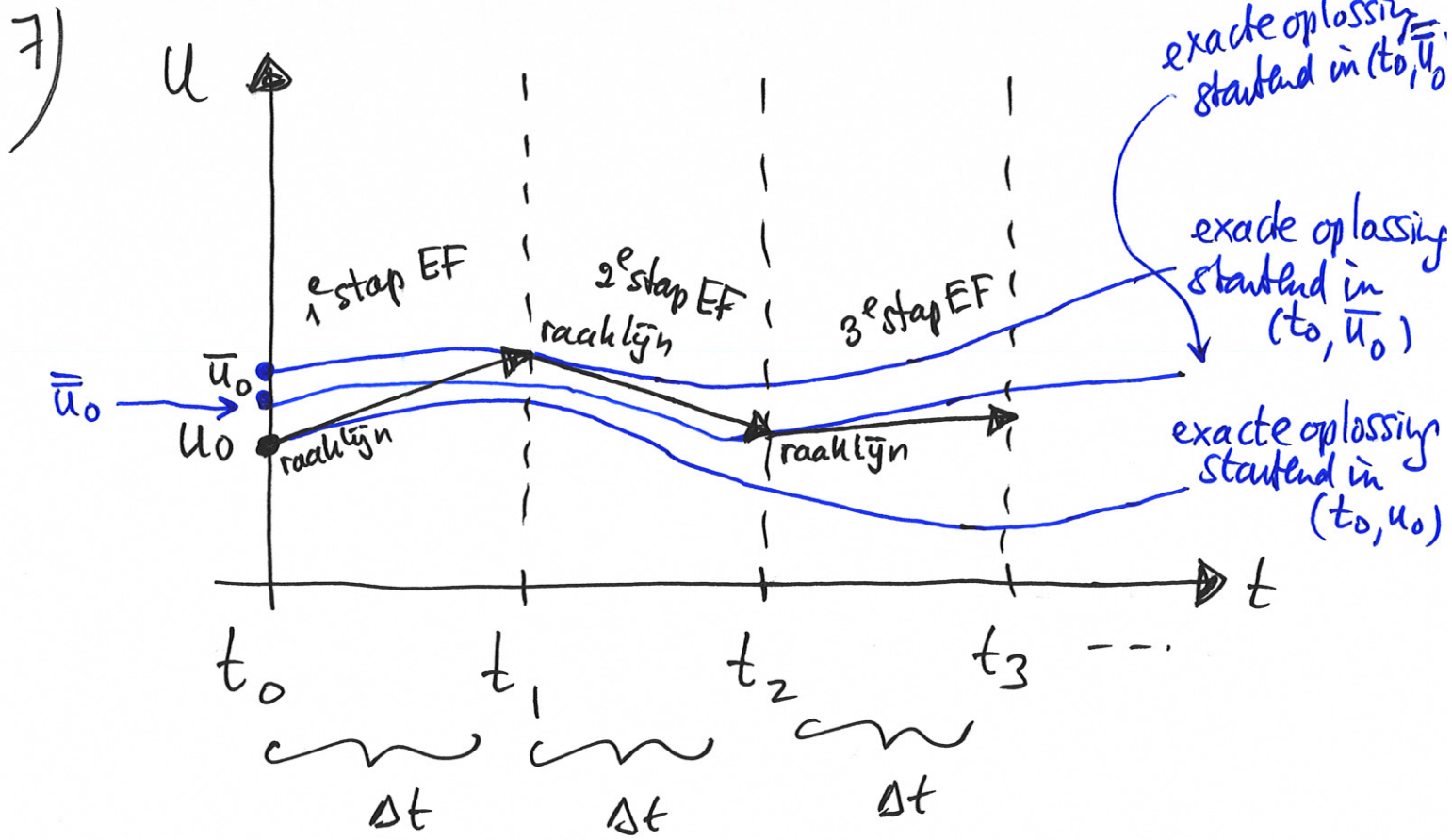
Deze methode heet Euler - Forward
afgekort als EF of Explicit Euler

Een zogenaamd expliciete methode: je kunt de volgende bewerkingen direct uitrekken vanuit de vorige zonder extra berekeningen.

Grafische interpretatie van EF

Herinner je het richtingsveld van een givene DV





- hoe goed is deze benadering? (naaktenheid)
- wat als de beginvoorraarde u_0 iets verstoord wordt? (bijv. door een afonding)
- zijn er "betere" methoden ...?

"numerieke stabilitet"

→ numerieke oplossing: $u_{n+1} = u_n + \Delta t f(u_n, t_n)$

→ Taylor rond tijdstip t_n : $u(t_{n+1}) = u(t_n) + (t_{n+1} - t_n) u'(t_n)$

$$+ \frac{(t_{n+1} - t_n)^2}{2} u''(t_n) + \dots$$

$$\approx u(t_n) + \Delta t u'(t_n) + \frac{1}{2} (\Delta t)^2 u''(t_n)$$

$$\stackrel{\curvearrowright}{Dv} = f(u(t_n), t_n)$$

(8)

\Rightarrow op het interval (t_n, t_{n+1}) is het verschil tussen de benaderingsformule en de (bijna) exacte Taylaformule $\approx \frac{1}{2} (\Delta t)^2 u''(t_n)$

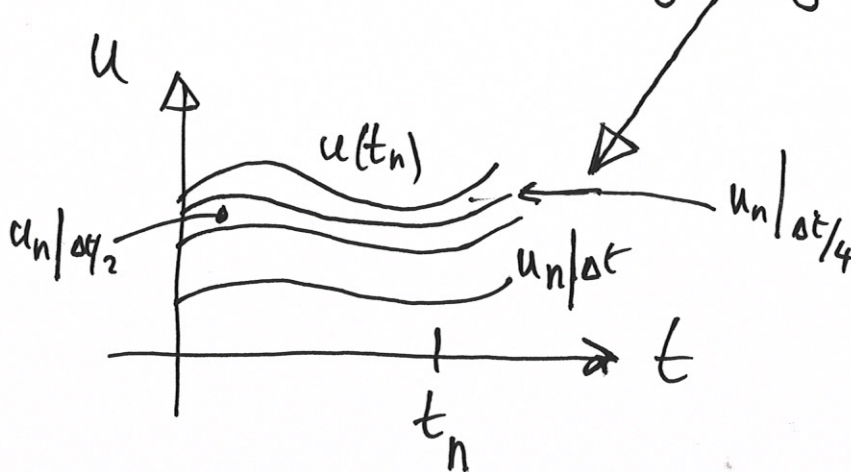
De zogenoemde lokale fout hangt dus af van $(\Delta t)^2$ en $u''(t_n)$.

$\begin{cases} \text{kan sterk variëren} \\ (\text{afhankelijk van richtingsveld}) \end{cases}$
 \Rightarrow suggereert dat de fout kwadratisch afneemt met Δt .

Echter dit is een lokale fout op (t_n, t_{n+1}) .

Als alle voorgaande lokale fouten worden opgeteld vanaf $(t_0, t_1), (t_1, t_2), \dots, t/m (t_n, t_{n+1})$ dan "verliest" je een macht van Δt (^{lokale fouten worden opgeteld!})

\Rightarrow de globale fout is \approx constante (Δt)
 (dus een lineaire foutafname)



Nu check numerische stabilitet: (9)

Bekijk het testprobleem: $\begin{cases} \dot{u} = \lambda u \\ u(0) = u_0 \end{cases}$

en het verstoerde testprobleem: $\begin{cases} \dot{\tilde{u}} = \lambda \tilde{u} \\ \tilde{u}(0) = u_0 + \varepsilon \end{cases}$
↑
"klein"

Pas EF toe op beide problemen:

$$\begin{cases} u_{n+1} = u_n + \Delta t \cdot \lambda u_n & n=0,1,\dots,N-1 \\ u_0 = u_0 \end{cases}$$

en $\begin{cases} \tilde{u}_{n+1} = \tilde{u}_n + \Delta t \cdot \lambda \tilde{u}_n & n=0,1,\dots,N-1 \\ \tilde{u}_0 = u_0 + \varepsilon \end{cases}$

Het verschil tussen deze twee voldoet aan:

$$\begin{aligned} \tilde{u}_{n+1} - u_{n+1} &= \tilde{u}_n - u_n + \lambda \Delta t \tilde{u}_n - \lambda \Delta t u_n \\ &= (1 + \lambda \Delta t)(\tilde{u}_n - u_n) \\ &= (1 + \lambda \Delta t)(1 + \lambda \Delta t)(\tilde{u}_{n-1} - u_{n-1}) \\ &= (1 + \lambda \Delta t)(1 + \lambda \Delta t)(1 + \lambda \Delta t)(1 + \lambda \Delta t)(\tilde{u}_{n-2} - u_{n-2}) \\ &= \dots \\ &= (1 + \lambda \Delta t)^{n+1}(\tilde{u}_0 - u_0) \\ &= (1 + \lambda \Delta t)^{n+1} \cdot \varepsilon \end{aligned}$$

"klein"

Als $|1 + \lambda \Delta t| < 1$, dan blijft de verstoring op t_{n+1} binnen de perken (stabiele numerische oplossing) (10)

Als $|1 + \lambda \Delta t| > 1$, dan wordt de numerieke oplossing "opgeblazen" (instabiel)

Wat betekent dit concreet?

$$-1 < 1 + \lambda \Delta t < 1 \Leftrightarrow -2 < \lambda \Delta t < 0$$

$\Delta t > 0$ en λ wordt < 0 gezocht
(vanwege "stabiele" exacte oplossing)

Dus $\lambda \Delta t > -2$

Beijk voorbeeld $\lambda = -10^8$ (kan gebeuren in de praktijk)

dan $\Delta t < 2 \cdot 10^{-8}$ (zeer klein)

Een impliciete methode: Euler-Backward (EB)

$$u_{n+1} = u_n + \Delta t \cdot f(u_{n+1}, t_{n+1})$$

(gebaseerd op: $u'(t) = \lim_{\Delta t \rightarrow 0} \frac{u(t) - u(t - \Delta t)}{\Delta t}$)

Pas nu hetzelfde principe toe als voor EF

$\overrightarrow{\text{check zelf}}$ $\tilde{u}_{n+1} - u_{n+1} = \frac{1}{1 - \lambda \Delta t} (\tilde{u}_n - u_n)$

(11)

$$\Rightarrow \tilde{u}_{n+1} - u_{n+1} = \frac{1}{(1 - \lambda \Delta t)^{n+1}} \cdot \varepsilon$$

is altijd
in absolute waarde < 1

thus altijd stabiel !

Wat is het nadeel van deze methode?

$$u_{n+1} - \Delta t \cdot f(u_{n+1}, t_{n+1}) - u_n = 0$$

bekend getal

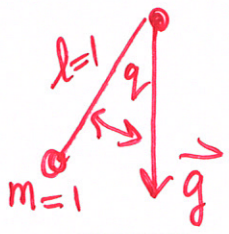
gekozen bekende functie
(maar meestal niet-lineair)

bekend uit vorige stap

te bepalen! HOE...? (\rightarrow Newton-Raphson)

zie eerder!

Vb slinger (zonder wrijving)



q is hier de hoek

$$\begin{cases} \dot{\vec{p}} = -\frac{\partial \mathcal{H}}{\partial q}(p, q) \\ \ddot{\vec{q}} = +\frac{\partial \mathcal{H}}{\partial p}(p, q) \end{cases}$$

$$\mathcal{H}(p, q) = \frac{1}{2} p^2 - \cos(q)$$

hamiltoniaan
energie

zie werkcollege

$$\vec{F} = m \vec{a}$$

$$\begin{cases} \dot{\vec{q}} = \vec{p} \\ \ddot{\vec{p}} = -\sin(q) \end{cases}$$



"neem $m=1, l=1, g=1$ "

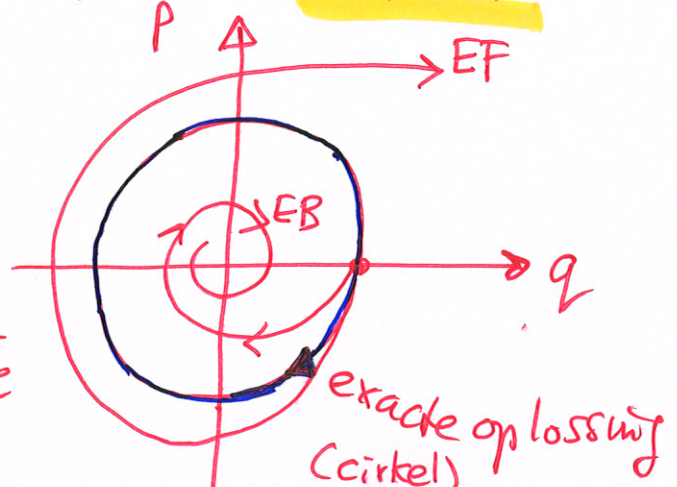
EF op $\begin{cases} \dot{x} = a(x, y) \\ \dot{y} = b(x, y) \end{cases} \rightarrow \begin{cases} x_{n+1} = x_n + \Delta t a(x_n, y_n) \\ y_{n+1} = y_n + \Delta t b(x_n, y_n) \end{cases}$

EB : $\begin{cases} x_{n+1} = x_n + \Delta t a(x_{n+1}, y_{n+1}) \\ y_{n+1} = y_n + \Delta t b(x_{n+1}, y_{n+1}) \end{cases}$

"symplectic Euler" : $\begin{cases} x_{n+1} = x_n + \Delta t a(x_n, y_n) \\ y_{n+1} = y_n + \Delta t \tilde{b}(\vec{x}_{n+1}, y_n) \end{cases}$

van kleine uitwijkingen ; $0 < q \ll 1$: $\sin(q) \approx q$

$$\Rightarrow \begin{cases} \dot{\vec{q}} = \vec{p} \quad (= a(q, p)) \\ \ddot{\vec{p}} = -q \quad (= b(q, p)) \end{cases}$$



(13)

Störmer-Verlet methode

aantal deeltjes $N \gg 1$
(veelgroter dan)

$$\text{Hamiltoniaan: } \mathcal{H}(\vec{p}, \vec{q}) = \frac{1}{2} \sum_{i=1}^N \frac{1}{m_i} \vec{p}_i \cdot \vec{p}_i + \sum_{i=2}^N \sum_{j=1}^{N-1} V_{ij} \cdot \|\vec{q}_i - \vec{q}_j\|$$

atoommassa potentiaal functies

Simpele veerje $N=1$

eén deeltje (\leftrightarrow "slinger" op blz 12)

$$\ddot{q} = f(q)$$

bij v. Lennard-Jones potentiaal
 $V_{ij} = 4 \epsilon_{ij} \left(\left(\frac{\sigma_{ij}}{r} \right)^{12} - \left(\frac{\sigma_{ij}}{r} \right)^6 \right)$

numerische oplossing → $q_{n+1} - 2q_n + q_{n-1} = (\Delta t)^2 f(q_n), n=1, 2, 3, \dots$

twee startwaarden nodig!

q_0 is gegeven

$$q_1 = q_0 + \Delta t v_0 - \frac{(\Delta t)^2}{2} f''(q_0) \quad (\text{Taylor!})$$

$\stackrel{\circ}{q}_0$ $\stackrel{\circ}{q}_0$
 (per def.) (uit model)

Zie ook wakcollege